

Seminar zur angewandten Wahrscheinlichkeitstheorie: Das Ising-Modell (WS 20/21)
Notizen zum 1. Vortrag vom 17.11.2020 von Timo Schorlepp

Inhalt: 1. Motivation, Ziele des Vortrags

2. Def. Gibbs-Maß des Ising-Modells auf endlichen Volumina mit verschiedenen Randbedingungen

3. Def. von Hove-Konvergenz; Druck und Magnetisierung im thermodynamischen Grenzwert, Def. Phasenübergang 1. Ordnung

(4. Anhang: Einige Sätze über konvexe Funktionen)

5. Literatur (Friedli & Velenik, Kapitel 3.1 und 3.2)

1. Motivation, Ziele des Vortrags

Wir wollen mit dem Ising-Modell auf möglichst einfache Weise im Rahmen der statistischen Physik das Verhalten eines Magneten in einem äußeren Magnetfeld modellieren, der (je nach Dimension) einen Phasenübergang aufweist, bei dem sich das Verhalten des Systems unterhalb einer kritischen Temperatur von paramagnetisch zu ferromagnetisch ändert.

Dazu betrachten wir in diesem Vortrag (zunächst)

endliche, diskrete Gitter $\Lambda \in \mathbb{Z}^d$ mit Spins $\sigma_i \in \{+1, -1\}$ an

jeden Gitterpunkt, die also entweder „oben“ oder „unten“ zeigen

sollen. Für die Ausrichtung der einzelnen Spins berücksichtigen

wir zwei Effekte:

a) Wechselwirkung nächster Nachbarn, wobei parallele Ausrichtung energetisch günstiger sein möge.

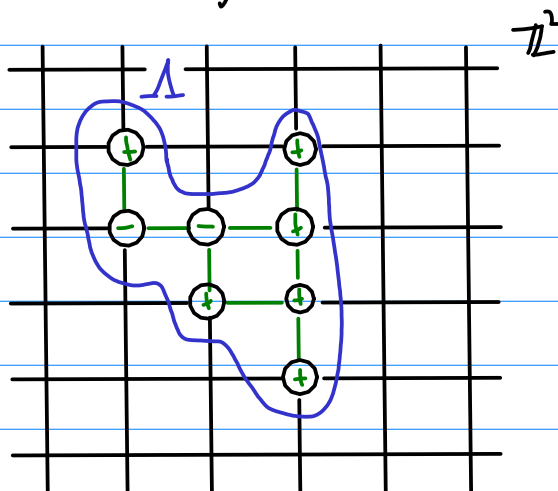
b) Ausrichtung längs eines äußeren Feldes h

Maximierung der Entropie bei gegebener mittlerer Energie liefert als Verteilung

auf der Menge der Konfigurationen $\{-1, +1\}^\Lambda$ das Gibbs-Maß $\mu_{\Lambda, \beta, h}^\#$

(genaue Def. folgt später, $\#$ steht für Randbedingung, β für die inverse Temperatur)

Skizze einer Konfiguration $\omega \in \{-1, +1\}^\Lambda$:



Frage für diesen Vortrag:

Existiert für Folgen $\Lambda_n \uparrow \mathbb{Z}^d$ im Ising-Modell der Grenzwert

$$m(\beta, h) = \lim_{n \rightarrow \infty} \frac{1}{|\Lambda_n|} \langle \sum_{i \in \Lambda_n} \sigma_i \rangle_{\Lambda_n, \beta, h}^{\#}$$

Erwartungswert bzgl. $\mu_{\Lambda, \beta, h}^{\#}$

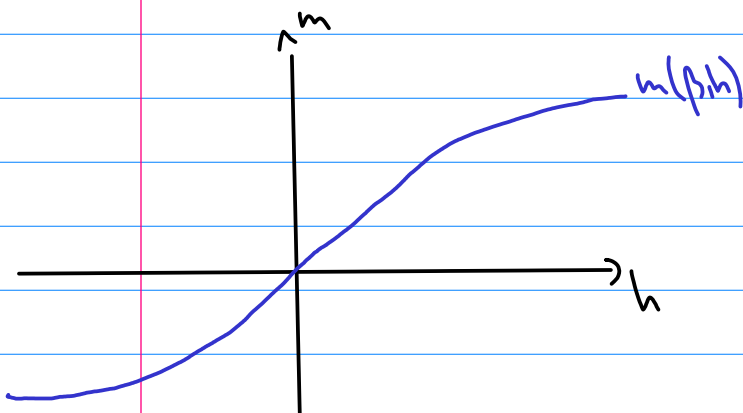
der Magnetisierung(sichte) für alle β und h , und hängt dieser von der gewählten Folge (Λ_n) und den Randbed. $\#$ ab?

Dieser Grenzwert $\Lambda_n \uparrow \mathbb{Z}^d$ wird als thermodynamischer Grenzwert bezeichnet

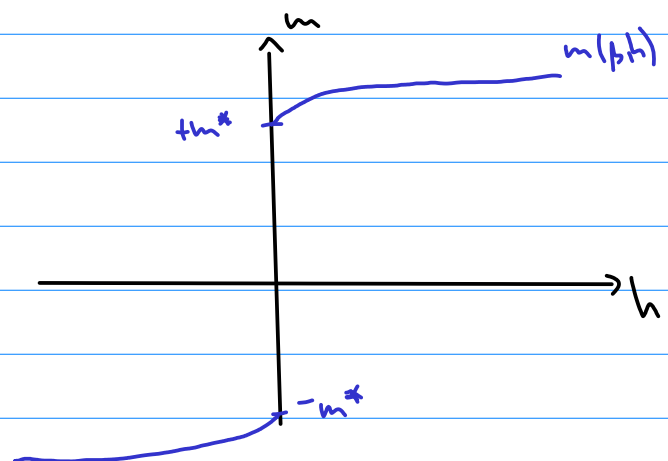
und ist sowohl physikalisch als auch mathematisch notwendig für das Auftreten

von Phasenübergängen, die wir hier z.B. als Unstetigkeitsstellen der

Magnetisierung bei Variation von h definieren:



Paramagnetisches Verhalten bei diesem β ,
die Magnetisierung $m(\beta, h)$
geht gegen 0 für äußeres Feld $h \rightarrow 0$



Ferromagnetisches Verhalten bei diesem β ,
d.h. $m(\beta, h) \rightarrow 0$ für $h \rightarrow 0$,
 $m(\beta, \cdot)$ unstetig bei $h = 0$.

2. Def. Gibbs-Map des Ising-Modells auf endlichen Volumina mit verschiedenen Randbedingungen [Abschnitt 3.1 in [13]]

2.1 Freie Randbedingungen

Sei $\Lambda \subseteq \mathbb{Z}^d$ eine endliche Teilmenge und $\Omega_\Lambda = \{-1, +1\}^\Lambda$
der Zustandsraum der möglichen Spinkonfigurationen.

$i, j \in \mathbb{Z}^d$ heißen nächste Nachbarn [Notation: $i \sim j$], falls
 $\sum_{k=1}^d |i_k - j_k| = 1$ [also hat $i \in \mathbb{Z}^d$ $2d$ nächste Nachbarn].

Wir identifizieren Λ stets mit dem Graphen, der Λ als Knotenmenge
besitzt und Kanten $E_\Lambda = \{\{i, j\} \subset \Lambda \mid i \sim j\}$ hat.

Wir definieren weiterhin für $i \in \Lambda$ $\sigma_i: \Omega_\Lambda \rightarrow \{-1, +1\}$, $\sigma_i(\omega) = \omega_i$

und setzen die Energie oder Hamiltonfunktion für $\beta \in \mathbb{R}_{\geq 0}$, $h \in \mathbb{R}$ als

$$\mathcal{H}_{\Lambda; \beta, h}^\phi: \Omega_\Lambda \rightarrow \mathbb{R}$$

\uparrow
Temperatur
 \uparrow
Stärke
äußeres Magnetfeld

$\omega \mapsto \mathcal{H}_{\Lambda; \beta, h}^\phi(\omega) =$

$$-\underbrace{\beta \cdot \sum_{\{i, j\} \in E_\Lambda} \sigma_i(\omega) \sigma_j(\omega)}_{\text{Wechselwirkungsterm}} - \underbrace{h \cdot \sum_{i \in \Lambda} \sigma_i(\omega)}_{\text{äußeres Feld}}$$

Bem.: Dabei signalisiert ϕ die Randbed., die sich im Wechselwirkungsterm

- 4 -
 $\sum_{\{i, j\} \in E_\Lambda}$ widerspiegeln [s. später, dort wird für andere Randbed.]

Über weitere Kanten summiert

- Man beachte, dass die Energie niedriger ist, wenn benachbarte Spins in die gleiche Richtung zeigen, und wenn $\sigma_i = \text{sgn}(h)$, also Ausrichtung parallel zum äußeren Feld.
- Die Konvention ist außerdem anders als in der Physik, wo β nicht Teil der Hamiltonfkt. wäre oder alternativ der zweite Summand $-\beta h \sum_{i \in \Lambda} \sigma_i$ lauten würde [die Def. hier vereinfacht später die Rechnung]

Def. 2.1: Das Gibbs-Maß auf Λ mit freien Randbedingungen und Parametern

[Def. 3.1
in [43]]

$\mu_{\beta, h}$ ist die Verteilung auf Ω_{Λ} , die gegeben ist durch

$$\mu_{\Lambda, \beta, h}^{\phi}(\omega) = \frac{1}{Z_{\Lambda, \beta, h}^{\phi}} \exp(-\mathcal{H}_{\Lambda, \beta, h}^{\phi}(\omega)),$$

wobei die Normierungskonstante

$$Z_{\Lambda, \beta, h}^{\phi} = \sum_{\omega \in \Omega_{\Lambda}} \exp(-\mathcal{H}_{\Lambda, \beta, h}^{\phi}(\omega))$$

Zustandssumme in Λ mit freien Randbedingungen heißt.

- Bem.: • An dieser Stelle ist das einfach die Definition der Verteilung, mit der wir uns beschäftigen werden. Diese kann physikalisch durch das mikrokanonische und kanonische Ensemble, Entropiemaximierung oder einfach durch Übereinstimmung der daraus abgeleiteten Vorhersagen mit Experimenten motiviert werden.
- Wie wir später sehen werden, liefert uns das Verhalten der Zustandssumme bei Änderung der Parameter β und h wichtige Informationen, auch wenn Z hier zunächst nur als Normierungskonstante eingeführt wurde.

2.2 Periodische Randbedingungen

Sei $\Lambda = V_n = \{0, \dots, n-1\}^d \in \mathbb{Z}^d$. Wir definieren die

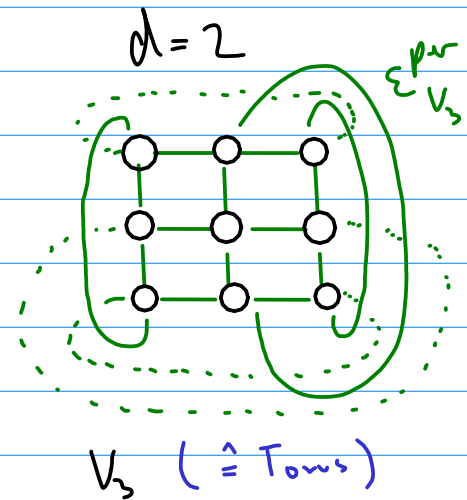
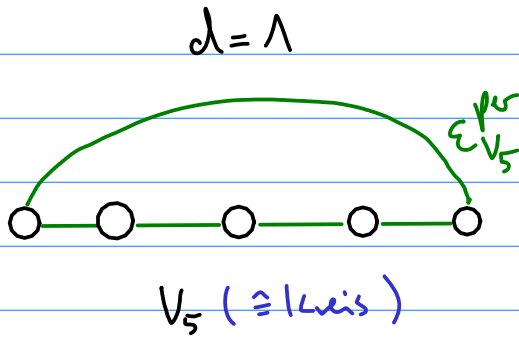
Kantenmenge auf V_n mit periodischen Randbedingungen als

$$E_{V_n}^{\text{per}} = \{ \{i, j\} \subset V_n \mid \sum_{k=1}^d |(i_k - j_k) \bmod n| = 1 \}, \text{ und}$$

-6- für den Zustandsraum $\Omega_{V_n} = \{-1, +1\}^{V_n}$ die

Hamilton-Funktion als $\mathcal{H}_{\Lambda, \beta, h}^{\text{per}}(\omega) = -\beta \sum_{\{i,j\} \in \mathcal{E}_{V_n}^{\text{per}}} \sigma_i(\omega) \sigma_j(\omega) - h \cdot \sum_{i \in V_n} \sigma_i(\omega)$.

Skizzen der V_n :



Def. 2.2: Das Gibbs-Map auf V_n mit periodischen Randbedingungen und Parametern

[Def. 3.2
in [1]]

$\mu_{\Lambda, h}$ ist die Verteilung auf Ω_{V_n} , die gegeben ist durch

$$\mu_{\Lambda, \beta, h}^{\text{per}}(\omega) = \frac{1}{Z_{\Lambda, \beta, h}^{\text{per}}} \exp(-\mathcal{H}_{\Lambda, \beta, h}^{\text{per}}(\omega)),$$

wobei die Normierungskonstante

$$Z_{\Lambda, \beta, h}^{\text{per}} = \sum_{\omega \in \Omega_{\Lambda}} \exp(-\mathcal{H}_{\Lambda, \beta, h}^{\text{per}}(\omega))$$

Zustandssumme in V_n mit periodischen Randbedingungen heißt.

Bem.: Der Unterschied zwischen $\mathcal{H}_{V_n, \beta, h}^{\phi}$ und $\mathcal{H}_{V_n, \beta, h}^{\text{per}}$ sind genau

die äußeren Kanten, die in letzterem Fall einmal "herumgerappt"

werden und somit d. n^{d-1} zusätzliche WW-Terme im Hamiltonian liefern.

2.3 Feste Randbedingungen

Sei $\Omega = \{-1, 1\}^{\mathbb{Z}^d}$ und $\eta \in \Omega$ eine beliebige, feste Konfiguration.

Sei wieder $\Lambda \subset \mathbb{Z}^d$ eine endliche Teilmenge. Wir betrachten als Zustandsraum

$$\Omega_{\Lambda}^{\eta} = \{\omega \in \Omega \mid \omega_i = \eta_i \forall i \notin \Lambda\}$$

[s.d. $|\Omega_{\Lambda}^{\eta}| = 2^{|\Lambda|} < \infty$] und nennen $\omega \in \Omega_{\Lambda}^{\eta}$ eine Konfiguration des Ising-Modells in Λ mit Randbed. η . Als Kantenmenge definieren wir

$$\mathcal{E}_{\Lambda}^b = \{\{i, j\} \subset \mathbb{Z}^d \mid \{i, j\} \cap \Lambda \neq \emptyset, i \sim j\}$$

[d.h. \mathcal{E}_{Λ}^b enthält \mathcal{E}_{Λ} sowie alle Kanten, die Punkte aus Λ mit nächsten Nachbarn außerhalb von Λ verbinden]

und damit

$$\mathcal{H}_{\Lambda, \beta, h} = -\beta \sum_{\{i, j\} \in \mathcal{E}_{\Lambda}^b} \sigma_i(\omega) \sigma_j(\omega) - h \sum_{i \in \Lambda} \sigma_i(\omega).$$

[auf Ω_{Λ}^{η} sind die Spins bei $i \notin \Lambda$ ja auf η fixiert und tragen über den hW-Term zu $\mathcal{H}_{\Lambda, \beta, h}$ bei, falls i an Λ angrenzt. Die NB, die durch η gegeben sind, werden dabei in den Raum Ω_{Λ}^{η} statt explizit in \mathcal{H} gepackt]

Def. 2.3: Das Gibbs-Map auf Λ mit Randbedingung η und Parameter

[Def. 3.3
in [4]]

β, h ist die Verteilung auf Ω_{Λ}^{η} , die gegeben ist durch

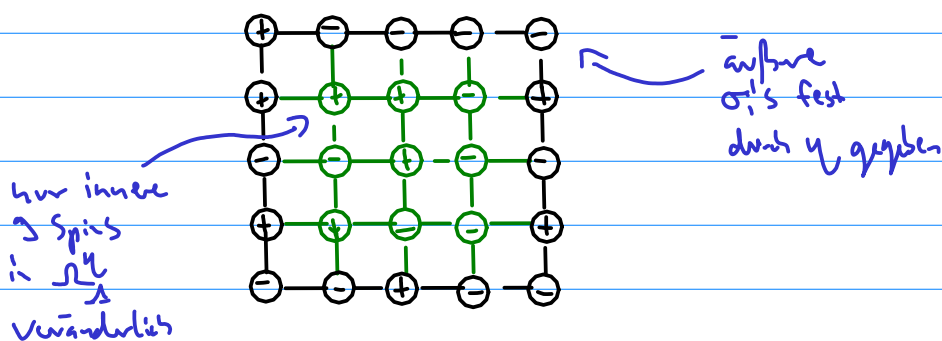
$$\mu_{\Lambda, \beta, h}^{\eta}(\omega) = \frac{1}{Z_{\Lambda, \beta, h}^{\eta}} \exp(-\mathcal{H}_{\Lambda, \beta, h}(\omega)),$$

wobei die Normierungskonstante

$$Z_{\Lambda, \beta, h}^{\eta} = \sum_{\omega \in \Omega_{\Lambda}^{\eta}} \exp(-\mathcal{H}_{\Lambda, \beta, h}(\omega))$$

Zustandssumme in Λ mit Randbedingungen η heißt.

Skizze für $d=2$, $\Lambda = \{-1, 0, 1\}^2$



Notation: • Für das $\eta \in \Omega$ mit $\eta_i = +1 \ \forall i \in \mathbb{Z}^d$ schreiben wir statt Ω_{Λ}^{η} auch Ω_{Λ}^{+} und für $\mu_{\Lambda|\beta,h}^{\eta}$ auch $\mu_{\Lambda|\beta,h}^{+}$.

Entsprechendes gilt für die Konfiguration mit $\eta_i = -1 \ \forall i \in \mathbb{Z}^d$.

• Das Symbol $\#$ steht im folgenden für eine der Randbedingungen ϕ, per, η . Für $\# = \text{per}$ wird damit immer implizit $\Lambda = V_n$ für ein $n \in \mathbb{N}$ angenommen.

• Erwartungswerte bzgl. $\mu_{\Lambda|\beta,h}^{\#}$ schreiben wir als

$$\langle f \rangle_{\Lambda|\beta,h}^{\#} = \sum_{\omega \in \Omega_{\Lambda}^{\#}} f(\omega) \mu_{\Lambda|\beta,h}^{\#}(\omega).$$

3. Def. von Hove-Konvergenz; Druck und Magnetisierung im thermodynamischen Grenzwert, Def. Phasenübergang 1. Ordnung [Abschnitt 3.2 in [1]]

Def. 3.1: Wir sagen, dass eine Folge $(\Lambda_n)_{n \in \mathbb{N}}$ aus endlichen Teilmengen $\Lambda_n \subset \mathbb{Z}^d$ gegen \mathbb{Z}^d konvergiert (Notation: $\Lambda_n \uparrow \mathbb{Z}^d$), falls:

$$\textcircled{1} \ \Lambda_n \subset \Lambda_{n+1} \ \forall n \in \mathbb{N}$$

$$\textcircled{2} \ \bigcup_{n \in \mathbb{N}} \Lambda_n = \mathbb{Z}^d.$$

Wir definieren weiterhin den Rand einer Menge $\Lambda \subset \mathbb{Z}^d$

durch $\partial^{\text{in}} \Lambda = \{i \in \Lambda \mid \exists j \notin \Lambda \text{ mit } i \sim j\}$. Gilt

$\Lambda_n \uparrow \mathbb{Z}^d$ und zusätzlich

$$\lim_{n \rightarrow \infty} \frac{|\partial^{\text{in}} \Lambda_n|}{|\Lambda_n|} = 0 \quad (*),$$

so sagen wir, dass (Λ_n) im Sinne von van Hove gegen \mathbb{Z}^d konvergiert und schreiben $\Lambda_n \uparrow \mathbb{Z}^d$.

Bem.: Die Bedingung (*) stellt eine Regularitätsbedingung an die Folge Λ_n dar, die wir im nachfolgenden Beweis zur Existenz des Druckes im thermodynamischen Grenzwert benötigen.

Bsp.: • Es gilt $B(n) \uparrow \mathbb{Z}^d$, wobei $B(n) = \{-n, -(n-1), \dots, n-1, n\}^d$.
[Aufgabe 3.1 in [1]]
 $B(n) \uparrow \mathbb{Z}^d$ ist klar, und es ist $|B(n)| = (2n+1)^d$ sowie

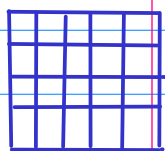
$$|\partial^{\text{in}} B(n)| < 2d \cdot (2n+1)^{d-1}, \text{ also}$$

so werden "Ecken" auf RHS doppelt gezählt
Anzahl Oberfl. des Würfels
Punkte pro Oberfl.

$$0 \leq \lim_{n \rightarrow \infty} \frac{|\partial^{\text{in}} B(n)|}{|B(n)|} \leq \lim_{n \rightarrow \infty} \frac{2d}{2n+1} = 0.$$

- Eine Folge mit $\Lambda_n \uparrow \mathbb{Z}^d$, aber $\Lambda_n \not\uparrow \mathbb{Z}^d$ ist bspw. für $d \geq 2$

Skizze:



$\Lambda_n \subset \mathbb{Z}^2$

$$\Lambda_n = B(n) \cup \{(i, 0, \dots, 0) \in \mathbb{Z}^d \mid 0 \leq i \leq e^n\},$$

$$\text{da } |\Lambda_n| \leq (2n+1)^d + e^n \text{ und } |\partial^{\text{in}} \Lambda_n| \geq e^n,$$

$$\text{also } \frac{|\partial^{\text{in}} \Lambda_n|}{|\Lambda_n|} \geq \frac{e^n}{(2n+1)^d + e^n} \xrightarrow{n \rightarrow \infty} 1.$$

Def. 3.2: Der Druck in $\Lambda \subset \mathbb{Z}^d$ mit Randbedingungen $\#$ ist

[Def. 3.4
in [13]]

$$\text{definiert als } \Psi_{\Lambda}^{\#}(\beta, h) = \frac{1}{|\Lambda|} \log Z_{\Lambda, \beta, h}^{\#}.$$

Bem.: An dieser Stelle ist zunächst sowohl die mathematische als auch physikalische Motivation für die vorige Definition unclear, also:

- ① zur Physik: Bildet man die Spin-Ausrichtung $\sigma_i \in \pm 1$ stattdessen auf die Werte 0 [„kein Atom am i -ten Gitterpunkt“] und 1 [„ein Atom am i -ten Gitterpunkt“] ab, so erhält man ein hard-core Gas im großkanonischen Ensemble (Teilchenzahl nicht fest). Damit ergibt es zumindest Sinn, vom Druck zu sprechen [und genauer hätte man

allgemein $P = \langle \frac{\partial \mathcal{E}}{\partial V} \rangle = \frac{1}{\beta} \partial_V \log Z$ in Physik-Konvention].

② Mathematisch interessiert uns vor allem der später gezeigte

Zusammenhang zwischen Druck und Magnetisierung:

$$m_{\Lambda}^{\#}(\beta, h) = \frac{\partial}{\partial h} \Psi_{\Lambda}^{\#}(\beta, h),$$

und damit insbesondere die Differenzierbarkeit von $\Psi_{\Lambda_n}^{\#}$ in

h für $\Lambda_n \uparrow \mathbb{Z}^d$.

Lemma 3.3: Für alle $\Lambda \in \mathbb{Z}^d$, $\beta \in \mathbb{R}_{\geq 0}$ und $h \in \mathbb{R}$ gilt:

[Aufgabe 3.2
in [13]]

$$(i) \quad \Psi_{\Lambda}^{\phi}(\beta, h) = \Psi_{\Lambda}^{\phi}(\beta, -h)$$

$$(ii) \quad \Psi_{\Lambda}^{\text{pw}}(\beta, h) = \Psi_{\Lambda}^{\text{pw}}(\beta, -h)$$

$$(iii) \quad \Psi_{\Lambda}^{+}(\beta, h) = \Psi_{\Lambda}^{-}(\beta, -h)$$

Bew.: Wir zeigen nur (i), da alle Beweise ähnlich funktionieren und wir nur (i) später benötigen.

$$\text{Es gilt } |\Lambda| \cdot \Psi_{\Lambda}^{\phi}(\beta, h) = \log Z_{\Lambda, \beta, h}^{\phi}$$

$$= \log \sum_{\omega \in \Omega_{\Lambda}} \exp(-\underbrace{\mathcal{E}_{\Lambda, \beta, h}(\omega)}) = \dots$$

$$= -\beta \sum_{\{i, j\} \in E_{\Lambda}} \sigma_i(\omega) \sigma_j(\omega) - h \sum_{i \in \Lambda} \sigma_i(\omega)$$

Der erste Term des Hamiltonians ist invariant unter $\omega \mapsto -\omega$,

der zweite wechselt das Vorzeichen. Damit:

$$\begin{aligned} \dots &= \log \sum_{\omega \in \Omega_\Lambda} \exp(-\mathcal{H}_{\Lambda; \beta, -h}^\phi(-\omega)) \\ &\stackrel{\text{Summe geht über alle Konfigurationen}}{=} \log \sum_{\omega \in \Omega_\Lambda} \exp(-\mathcal{H}_{\Lambda; \beta, -h}^\phi(\omega)) \\ &= |\Lambda| \psi_\Lambda^\phi(\beta, -h) \end{aligned}$$

Lemma 3.4: Für jede Randbedingung $\#$ ist $(\beta, h) \mapsto \psi_\Lambda^\#(\beta, h)$ konvex.

[Lemma 3.5
in [1]]

wichtig!
Nutzen wir später
mehrmals

Bew.: Wir benötigen wieder nur freie Randbedingungen. Zunächst gilt

für $\alpha \in [0, 1]$, $\beta_1, \beta_2 \in \mathbb{R}_{\geq 0}$ und $h_1, h_2 \in \mathbb{R}$:

$$\mathcal{H}_{\Lambda; \alpha\beta_1 + (1-\alpha)\beta_2, \alpha h_1 + (1-\alpha)h_2}^\phi = \alpha \cdot \mathcal{H}_{\Lambda; \beta_1, h_1}^\phi + (1-\alpha) \mathcal{H}_{\Lambda; \beta_2, h_2}^\phi.$$

Damit erhalten wir:

$$\begin{aligned} \psi_{\Lambda; \alpha\beta_1 + (1-\alpha)\beta_2, \alpha h_1 + (1-\alpha)h_2}^\phi &= \sum_{\omega \in \Omega_\Lambda} \exp(-\alpha \cdot \mathcal{H}_{\Lambda; \beta_1, h_1}^\phi(\omega)) \exp(-(1-\alpha) \mathcal{H}_{\Lambda; \beta_2, h_2}^\phi(\omega)) \end{aligned}$$

Hölder-Ungleichung
mit $\frac{1}{p} = \alpha, \frac{1}{q} = 1-\alpha$

$$\leq \left(\sum_{\omega \in \Omega_\Lambda} \exp(-\mathcal{H}_{\Lambda; \beta_1, h_1}^\phi(\omega)) \right)^\alpha \left(\sum_{\omega \in \Omega_\Lambda} \exp(-\mathcal{H}_{\Lambda; \beta_2, h_2}^\phi(\omega)) \right)^{1-\alpha}$$

$$\begin{aligned}
& \text{Also } \Psi_{\Lambda}^{\phi}(\alpha\beta_1 + (1-\alpha)\beta_2, \alpha h_1 + (1-\alpha)h_2) \\
&= \frac{1}{|\Lambda|} \log Z_{\Lambda; \alpha\beta_1 + (1-\alpha)\beta_2, \alpha h_1 + (1-\alpha)h_2}^{\phi} \\
&\leq \frac{1}{|\Lambda|} (\alpha \cdot \log Z_{\Lambda; \beta_1, h_1}^{\phi} + (1-\alpha) \log Z_{\Lambda; \beta_2, h_2}^{\phi}) \\
&= \alpha \cdot \Psi_{\Lambda}^{\phi}(\beta_1, h_1) + (1-\alpha) \Psi_{\Lambda}^{\phi}(\beta_2, h_2)
\end{aligned}$$

Satz 3.5: Die Größe $\Psi(\beta, h) = \lim_{\Lambda \uparrow \mathbb{Z}^d} \Psi_{\Lambda}^{\#}(\beta, h)$ (**) ist
 [Theorem 3.6 in [1]] ↑
"thermodynamischer Grenzwert" ist

$\forall \beta \in \mathbb{R}_{\geq 0}, h \in \mathbb{R}$ endlich und wohldefiniert, d.h.

unabhängig von der Folge $\Lambda_n \uparrow \mathbb{Z}^d$ sowie der Randbedingung #.

Außerdem ist $(\beta, h) \mapsto \Psi(\beta, h)$ konvex und

$h \mapsto \Psi(\beta, h)$ gerade.

Bew.: Zunächst die folgenden, einfachen Beobachtungen:

1. Für jedes $\Lambda \in \mathbb{Z}^d$ gilt:

$$|\Psi_{\Lambda}^{\phi}(\beta, h)| \leq 2 \cdot d \cdot \beta + |h| + \log 2 \quad (***)$$

$$\text{denn: } |Z_{\Lambda; \beta, h}^{\phi}(\omega)| \leq (2d\beta + |h|) \cdot |\Lambda|,$$

höchstens $2d$
 nächste Nachbarn
 pro $i \in \Lambda$ zählt Kanten so sogar doppelt

$$\text{also } z_{\Lambda; \beta, h}^\phi = \sum_{\omega \in \Omega_\Lambda} \exp(-\mathcal{E}_{\Lambda; \beta, h}^\phi(\omega))$$

$$\begin{aligned} &\stackrel{\substack{\text{untere} \\ \text{Schranke} \\ -(2d\beta + |h|)|\Lambda| \\ \text{für } \mathcal{E} \text{ einsetzen}}}{\leq} \exp((2d\beta + |h|)|\Lambda|) \cdot \underbrace{\sum_{\omega \in \Omega_\Lambda} 1}_{= 2^{|\Lambda|}} \\ &= \exp((2d\beta + |h| + \log 2)|\Lambda|) \end{aligned}$$

$$\begin{aligned} \text{und analog } z_{\Lambda; \beta, h}^\phi &\geq \exp(-(2d\beta + |h| - \log 2)|\Lambda|) \\ &\geq \exp(-(2d\beta + |h| + \log 2)|\Lambda|), \end{aligned}$$

$$\text{also } -(2d\beta + |h| + \log 2) \leq \frac{1}{|\Lambda|} \log z_{\Lambda; \beta, h}^\phi \leq (2d\beta + |h| + \log 2).$$

[damit haben wir u.a., falls $(**)$ existiert und nicht von den Randbed. abhängt, sofort $|\Psi(\beta, h)| < \infty$]

2. Da nach Lemma $\Psi_{\Lambda_n}^\phi$ konvex in (β, h) und

gerade in h ist $\forall n \in \mathbb{N}$, folgt, falls $(**)$ existiert

und unabhängig von den Randbed. ist, sofort, dass Ψ

als punktweise Grenzfunktion diese Eigenschaften erbt

[s. auch Anhang über konvexe Funktionen].

Den eigentlichen Beweis vollziehen wir nun in drei Schritten:

① zeige Existenz des Grenzwerts für freie Randbedingungen
 \emptyset und $\Lambda_n = D_n = \{1, 2, 3, \dots, 2^n\}^d$

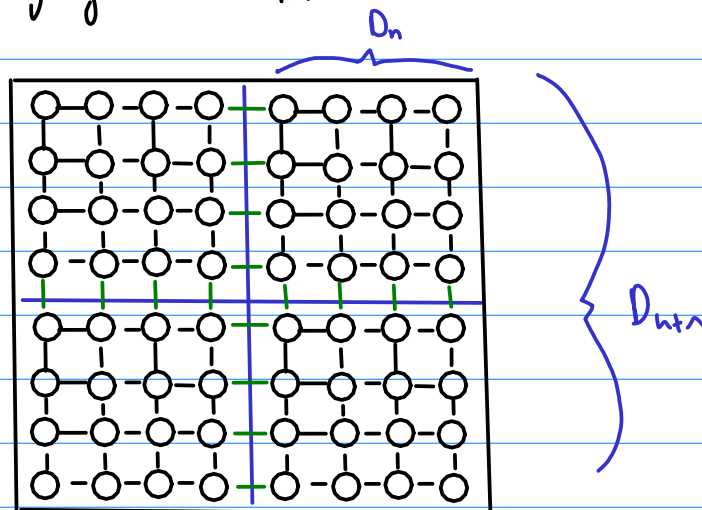
② Folge χ^ϕ für beliebige Folgen $\Lambda_n \uparrow \mathbb{Z}^d$ und freie Randbedingungen \emptyset

③ zeige χ^ϕ für periodische und feste Randbedingungen.

① Wir wollen zeigen, dass $(\chi_{D_n}^\phi(\beta, h))_{n \in \mathbb{N}}$ eine Cauchy-Folge ist.

Dazu schätzen wir zunächst $|\chi_{D_{n+1}}^\phi(\beta, h) - \chi_{D_n}^\phi(\beta, h)|$ ab

durch Zerlegung von D_{n+1} , dazu zuerst eine Skizze:



zerlege also $D_{n+1} = \{0, 1, \dots, 2^{n+1}\}^d$ in 2^d disjunkte, verschobene Kopien von $D_n = \{0, 1, \dots, 2^n\}^d$, die wir mit $D_n^{(i)}$, $i = 1, \dots, 2^d$ bezeichnen.

Die Hamilton-Funktion lässt sich dann schreiben als

$$\chi_{D_{n+1}}^\phi = \sum_{i=1}^{2^d} \chi_{D_n^{(i)}}^\phi + R_n,$$

wobei R_n die in der Skizze grün angedeuteten

Wechselwirkungsterme zwischen Spins benachbarter Blöcke

beinhaltet. Diesen Term können wir abschätzen durch

$$|R_n| \leq \underbrace{\beta \cdot d}_{\substack{\text{Wdh für} \\ \text{1 Kante}}} \cdot \underbrace{(2^{n+1})^{d-1}}_{\substack{\text{Anzahl} \\ \text{an } D_n\text{-Oberflächen} \\ \text{zwischen } D_n\text{-Würfeln}}} \cdot \underbrace{1}_{\substack{\text{Oberfläche einer} \\ \text{Seite des Würfels } D_n, \text{ s. Skizze}}}$$

$$\text{Aus } \mathcal{H}_{D_n; \beta, h}^\phi \geq \sum_{i=1}^{2^d} \mathcal{H}_{D_n^{(i)}; \beta, h}^\phi - \beta d (2^{n+1})^{d-1}$$

folgt dann

$$\begin{aligned} Z_{D_n; \beta, h}^\phi &= \sum_{\omega \in \Omega_{D_n}} \exp(-\mathcal{H}_{D_n; \beta, h}^\phi(\omega)) \\ &\leq \exp(\beta \cdot d \cdot (2^{n+1})^{d-1}) \cdot \sum_{\omega \in \Omega_{D_n}} \frac{2^d}{d!} \exp(-\mathcal{H}_{D_n^{(i)}; \beta, h}^\phi(\omega)) \\ &= \sum_{\omega^{(1)} \in \Omega_{D_n^{(1)}}} \dots \sum_{\omega^{(2^d)} \in \Omega_{D_n^{(2^d)}}} \end{aligned}$$

= ooo

Wir zerlegen also die Summe über $\omega \in \Omega_{D_n}$

in separate Summationen über die Teilkonfigurationen

auf den $D_n^{(i)}$. Ohne Wechselwirkungen zwischen diesen

Teilsystemen gilt $\mathcal{H}_{D_n^{(i)}; \beta, h}^\phi(\omega) = \mathcal{H}_{D_n^{(i)}; \beta, h}^\phi(\omega^{(i)})$,

und damit faktoriisiert die Summe vollkommen:

$$ooo = \exp(-\beta \cdot d \cdot (2^{u_n})^{d-1}) \cdot (Z_{D_n; \beta, h}^\phi)^{2^d}$$

Vollkommen analog bekommen wir mit

$$Z_{D_{n+1}; \beta, h}^\phi \leq \sum_{i=1}^{2^d} Z_{D_n^{(i)}; \beta, h}^\phi + \beta d (2^{u_n})^{d-1}$$

dann

$$Z_{D_{n+1}; \beta, h}^\phi \geq \exp(-\beta \cdot d \cdot (2^{u_n})^{d-1}) \cdot (Z_{D_n; \beta, h}^\phi)^{2^d}$$

Logarithmieren und Division durch $|D_{n+1}| = (2^{u_n})^d$

ergibt

$$-\beta \cdot d \cdot 2^{-(u_n)} + \frac{1}{(2^n)^d} \cdot \log Z_{D_{n+1}; \beta, h}^\phi \leq \frac{1}{(2^n)^d} \log Z_{D_n; \beta, h}^\phi \leq \beta d 2^{-u_n} + \frac{1}{(2^n)^d} \cdot \log Z_{D_n; \beta, h}^\phi$$

$$\text{also } \boxed{\left| \Psi_{D_{n+1}}^\phi(\beta, h) - \Psi_{D_n}^\phi(\beta, h) \right| \leq \beta d 2^{-(u_n+1)}}.$$

Damit sind wir fertig, da somit für $n \leq m$ gilt:

$$\left| \Psi_{D_m}^\phi(\beta, h) - \Psi_{D_n}^\phi(\beta, h) \right| \leq \beta d \cdot \sum_{k=u_n}^m 2^{-k} \leq \beta d \sum_{k=u_n}^{\infty} 2^{-k} \xrightarrow{n \rightarrow \infty} 0$$

Dreiecks-
Ungleichung...

Somit ist $(\Psi_{D_n}^\emptyset(\beta, h))_{n \in \mathbb{N}}$ für alle $\beta \in \mathbb{R}_{\geq 0}, h \in \mathbb{R}$ eine Cauchy-Folge; wir bezeichnen den Grenzwert mit $\Psi(\beta, h)$.

② Sei jetzt $\Lambda_n \uparrow \mathbb{Z}^d$ eine beliebige von Hove-Folge. Sei $\varepsilon > 0$ beliebig. Wir wollen zeigen, dass ein $n_0 \in \mathbb{N}$ existiert, sodass $\forall n \geq n_0 : |\Psi_{\Lambda_n}^\emptyset(\beta, h) - \Psi(\beta, h)| \leq \varepsilon$.

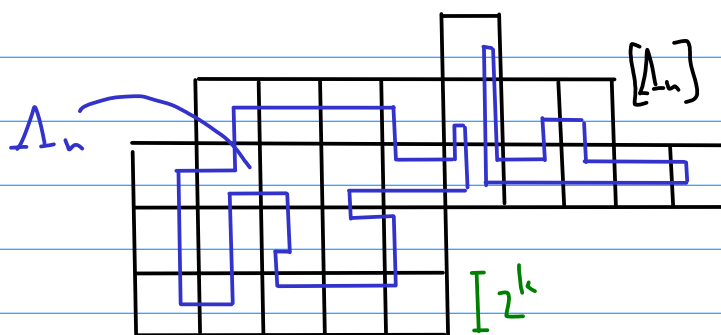
Wähle ein festes $k \in \mathbb{N}$ [unabhängig von n bzw. n_0 ; die genaue Wahl wird später spezifiziert] und zerlege \mathbb{Z}^d in disjunkte, verschobene Kopien von $D_k = \{1, \dots, 2^k\}^d$.

Wir definieren $[\Lambda_n]$ als die minimale [stets endlich!] Überdeckung von $\Lambda_n \subset \mathbb{Z}^d$ durch D_k 's; dies

schreiben wir als $[\Lambda_n] = \bigcup_i D_k^{(i)} \supseteq \Lambda_n$.

← endliche Vereinigung.

Skizze:



Wir schätzen ab:

$$|N_{\Lambda_n}^\phi(\beta, h) - N(\beta, h)| \leq \underbrace{|N_{\Lambda_n}^\phi(\beta, h) - N_{[\Lambda_n]}^\phi(\beta, h)|}_{\text{I}} + \underbrace{|N_{[\Lambda_n]}^\phi(\beta, h) - N_{D_k}^\phi(\beta, h)|}_{\text{II}} + \underbrace{|N_{D_k}^\phi(\beta, h) - N(\beta, h)|}_{\text{III}}$$

- Für $\textcircled{\text{III}}$ liefert Teil $\textcircled{1}$ dieses Beweises, dass $k_0 \in \mathbb{N}$ existiert

mit $|N_{D_k}^\phi(\beta, h) - N(\beta, h)| \leq \frac{\varepsilon}{3} \quad \forall k \geq k_0.$

- Für $\textcircled{\text{II}}$ schätzen wir analog zu $\textcircled{1}$ ab:

$$\mathcal{X}_{[\Lambda_n]; \beta, h}^\phi = \sum_j \mathcal{X}_{D_k^{(j)}; \beta, h}^\phi + W_h$$

mit $|W_h| \leq \underbrace{\frac{|[\Lambda_n]|}{|D_k|}}_{\text{Anzahl an Teilwürfeln}} \cdot \underbrace{d}_{\substack{\text{max. 2d} \\ \text{Oberflächen pro} \\ \text{Teilwürfel; Fülle} \\ \text{so nicht doppelt}}} \cdot \underbrace{\beta \cdot (2^k)^{d-1}}_{\substack{\text{Eine Oberfläche} \\ \text{eines } D_k^{(j)}\text{-Würfels}}} = |[\Lambda_n]| \cdot \beta \cdot d \cdot 2^{-k}$

Als. wieder

$$Z_{[\Lambda_n]; \beta, h}^\phi = \sum_{\omega \in \Omega_{[\Lambda_n]}} \exp(-\mathcal{X}_{[\Lambda_n]; \beta, h}^\phi(\omega))$$

$$\leq \exp(|[\Lambda_n]| \cdot d \cdot \beta \cdot 2^{-k}) \underbrace{\sum_{\omega \in \Omega_{[\Lambda_n]}} \prod_j \exp(-\chi_{D_{\ell_j}^{(\omega)}; \beta, \gamma}(\omega))}_{\substack{\text{s.o.} \\ = (z_{D_k; \beta, \gamma}^\phi)^{|\Lambda_n|/|D_k|}}}$$

und ebenso $z_{[\Lambda_n]; \beta, \gamma}^\phi \geq \exp(-|[\Lambda_n]| \cdot d \cdot \beta \cdot 2^{-k}) (z_{D_k; \beta, \gamma}^\phi)^{|\Lambda_n|/|D_k|}$, also

$$-d \cdot \beta \cdot 2^{-k} \cdot |[\Lambda_n]| + \frac{|[\Lambda_n]|}{|D_k|} \log z_{D_k; \beta, \gamma}^\phi \leq \log z_{[\Lambda_n]; \beta, \gamma}^\phi \leq d \cdot \beta \cdot 2^{-k} \cdot |[\Lambda_n]| + \frac{|[\Lambda_n]|}{|D_k|} \log z_{D_k; \beta, \gamma}^\phi$$

$$\Rightarrow \boxed{|\Psi_{[\Lambda_n]}^\phi(\beta, \gamma) - \Psi_{D_k}^\phi(\beta, \gamma)| \leq d \cdot \beta \cdot 2^{-k} \leq \frac{\varepsilon}{5}}$$

$$\forall k \geq k_n \in \mathbb{N}.$$

Damit sind für $k \geq \max\{k_0, k_n\}$ die Terme $\textcircled{\text{II}}$ und $\textcircled{\text{III}}$

jeweils $\leq \frac{\varepsilon}{3}$, und die Wahl dieses k ist unabhängig von n !

Es verbleibt der Term $\textcircled{\text{I}}$: $|\Psi_{\Lambda_n}^\phi(\beta, \gamma) - \Psi_{[\Lambda_n]}^\phi(\beta, \gamma)|$

[hier muss dann offensichtlich die bisher nicht verwendete von Hove - Bedingung eingehen]

Wir definieren $\Delta_n = [\Lambda_n] \setminus \Lambda_n$ als Differenz der

Würfelüberdeckung und der ursprünglichen Menge Λ_n .

Es gilt $|\Delta_n| \leq |\partial^{\text{in}} \Lambda_n| \cdot |D_k|$, und damit

Der ungünstigste Fall tritt ein, wenn in jedem der $D_k^{(ij)}$ nur ein einziger, isolierter Punkt aus Λ_n (und damit aus $\partial^{\text{in}} \Lambda_n$) liegt. Allgemeiner kann es in $D_k^{(ij)}$ nur Punkte aus Δ_n geben, wenn $D_k^{(ij)}$ Randpunkte aus $\partial^{\text{in}} \Lambda_n$ enthält.

liefert uns die van Hove - Bedingung die Abschätzung

$$1 \leq \frac{|[\Lambda_n]|}{|\Lambda_n|} = \frac{|\Lambda_n| + |\Delta_n|}{|\Lambda_n|} \leq 1 + |D_k| \cdot \frac{|\partial^{\text{in}} \Lambda_n|}{|\Lambda_n|} \xrightarrow{n \rightarrow \infty} 1,$$

also $\frac{|[\Lambda_n]|}{|\Lambda_n|} \xrightarrow{n \rightarrow \infty} 1 \quad (+)$

Die Differenz der zugehörigen Hamilton - Funktionen zu Λ_n und $[\Lambda_n]$

können wir wie vorher durch

$$|\mathcal{H}_{\Lambda_n; \beta, h}^\phi - \mathcal{H}_{[\Lambda_n]; \beta, h}^\phi| \leq (2d\beta + |h|) |\Delta_n|$$

abschätzen, und

jeder der $|\Delta_n|$ Knoten hat maximal $2d$ nächste Nachbarn (jeder Knoten doppelt)
 $|\Delta_n|$ Terme h.o. in der Differenz

damit wie immer:

$$Z_{[\Lambda_n]; \beta, h}^\phi = \sum_{\omega \in \Omega_{[\Lambda_n]}} \exp(-\mathcal{H}_{[\Lambda_n]; \beta, h}^\phi(\omega))$$

$$\leq \exp((2d\beta + |h|) |\Delta_n|) \cdot \sum_{\omega \in \Omega_{[\Lambda_n]}} \exp(-\mathcal{H}_{\Lambda_n; \beta, h}^\phi(\omega))$$

alle Spins in Δ_n
gehen gar nicht ein

$$= \exp((2d\beta + |h|) |\Delta_n|) \cdot 2^{|\Delta_n|} \cdot Z_{\Lambda_n; \beta, h}^\phi$$

$$= \exp((2d\beta + |h| + \log 2) |\Delta_n|) \cdot Z_{\Lambda_n; \beta, h}^\phi$$

und nach unten $Z_{[\Lambda_n]; \beta, h}^\phi \geq \exp(-(2d\beta + |h| + \log 2) |\Delta_n|) \cdot Z_{\Lambda_n; \beta, h}^\phi$

Also $|\log Z_{[\Lambda_n]; \beta, h}^\phi - \log Z_{\Lambda_n; \beta, h}^\phi| \leq (2d\beta + |h| + \log 2) \cdot |\Delta_n|$

$$\leq (2d\beta + |h| + \log 2) \cdot |D_k| \cdot |\partial_{\text{in}} \Lambda_n|$$

$$= \frac{|\Lambda_n|}{|\Lambda_n|} \cdot \mathcal{H}_{[\Lambda_n]; \beta, h}^\phi$$

$$\Rightarrow \left| \frac{1}{|\Lambda_n|} \cdot \log Z_{[\Lambda_n]; \beta, h}^\phi - \mathcal{H}_{\Lambda_n}^\phi(\beta, h) \right| \leq (2d\beta + |h| + \log 2) \cdot |D_k| \cdot \frac{|\partial_{\text{in}} \Lambda_n|}{|\Lambda_n|}$$

und damit letztendlich für ①

$$|\psi_{[\Lambda_n]}^\phi(\beta, h) - \psi_{\Lambda_n}^\phi(\beta, h)|$$

$$\leq \underbrace{|\psi_{[\Lambda_n]}^\phi(\beta, h) - \frac{|[\Lambda_n]|}{|\Lambda_n|} \cdot \psi_{[\Lambda]}^\phi(\beta, h)|}_{\text{S.o.}} + \underbrace{|\frac{|[\Lambda_n]|}{|\Lambda_n|} \cdot \psi_{[\Lambda]}^\phi(\beta, h) - \psi_{\Lambda_n}^\phi(\beta, h)|}_{\text{S.o.}}$$

$$\leq \underbrace{|\psi_{[\Lambda_n]}^\phi(\beta, h)|}_{\leq 2d\beta + 4 + \log 2} \cdot \underbrace{\left|1 - \frac{|[\Lambda_n]|}{|\Lambda_n|}\right|}_{\xrightarrow{n \rightarrow \infty} 0} \quad (+)$$

$\forall n \in \mathbb{N}$ nach (xxx)

am Anfang des Beweises

$$\leq (2d\beta + 4 + \log 2) |\partial \Lambda| \cdot \frac{|\partial^{\text{in}} \Lambda_n|}{|\Lambda_n|}$$

$\xrightarrow{n \rightarrow \infty} 0$, da $\Lambda_n \uparrow \mathbb{Z}^d$

$$\leq \frac{\varepsilon}{3} \quad \text{für } n \geq n_0.$$

③ Als letztes bleibt die Unabhängigkeit des Grenzwertes

von den Randbedingungen zu zeigen [auch hier sollte

anscheinlich die van Hove-Bedingung eine Rolle spielen].

Betrachte zunächst feste NB, also $\Lambda \in \mathbb{Z}^d$, $\gamma \in \Omega$,

$\omega \in \Omega_\Lambda$ und $\omega' \in \Omega_\Lambda^\gamma$ mit $\omega = \omega'$ in Λ .

Dann gilt:

$$|\chi_{\Lambda \cup \gamma}(\omega') - \chi_{\Lambda \cup \gamma}^\phi(\omega)| \leq 2d\beta \cdot |\partial^{\text{in}} \Lambda|$$

Unterschied nur durch zusätzliche Kanten
am Rand, höchstens $2d$ pro Kante

$$\begin{aligned}
 \text{und damit } Z_{\Lambda; \beta, h}^u &= \sum_{\omega \in \Omega_{\Lambda}^u} \exp(-X_{\Lambda; \beta, h}(\omega)) \\
 &\leq \exp(2d\beta |\partial^{\text{in}} \Lambda|) \cdot \sum_{\omega \in \Omega_{\Lambda}^u} \exp(-X_{\Lambda; \beta, h}^{\phi}(\omega)) \\
 &= \exp(2d\beta |\partial^{\text{in}} \Lambda|) \cdot Z_{\Lambda; \beta, h}^{\phi}
 \end{aligned}$$

anal. für $\geq \dots$,
Logarithmieren und $\frac{1}{|\Lambda|}$

$$\Rightarrow |\psi_{\Lambda}^u(\beta, h) - \psi_{\Lambda}^{\phi}(\beta, h)| \leq 2d\beta \frac{|\partial^{\text{in}} \Lambda|}{|\Lambda|}$$

Also für $\Lambda_n \uparrow \mathbb{Z}^d$:

$$\begin{aligned}
 |\psi_{\Lambda_n}^u(\beta, h) - \psi(\beta, h)| &\leq \underbrace{|\psi_{\Lambda_n}^u(\beta, h) - \psi_{\Lambda_n}^{\phi}(\beta, h)|}_{\leq 2d\beta \frac{|\partial^{\text{in}} \Lambda_n|}{|\Lambda_n|} \rightarrow 0} + \underbrace{|\psi_{\Lambda_n}^{\phi}(\beta, h) - \psi(\beta, h)|}_{\rightarrow 0 \text{ nach } \textcircled{2}}
 \end{aligned}$$

Beweis für periodische Randbedingungen genau gleich ...

Bem.: Für Folgen von Quadern $\Lambda_n = [a_1^n, b_1^n] \times \dots \times [a_d^n, b_d^n] \cap \mathbb{Z}^d$

lässt sich die Existenz des Drucks im thermodynamischen

Grenzwert auf mithilfe von Subadditivität der Zustands-

summe für einen transformierten Hamiltonian zeigen

[Aufgabe 3.3, Lemma B.6 in [1]]. Dies vertiefen wir

hier aber aus Zeitgründen nicht.

Def. 3.6: Sei $\Lambda \in \mathbb{Z}^d$. Wir definieren die (Gesamt-) Magnetisierung

$$M_\Lambda = \sum_{i \in \Lambda} \sigma_i \quad \text{und die } \underline{\text{Magnetisierungsdichte}}$$

$$m_\Lambda = \frac{1}{|\Lambda|} M_\Lambda. \quad \text{Weiterhin schreiben wir}$$

$$m_\Lambda^\#(\beta, h) = \langle m_\Lambda \rangle_{\Lambda, \beta, h}^\# \quad \text{für den Erwartungswert der Magnetisierungsdichte.}$$

Prop. 3.7: Die kumulanten-erzeugende Funktion von M_Λ unter $\mu_{\Lambda, \beta, h}^\#$ ist

[Aufgabe 3.4 in [13]] $\log \langle e^{t M_\Lambda} \rangle_{\Lambda, \beta, h}^\# = |\Lambda| \cdot (\mathcal{K}_\Lambda^\#(\beta, h+t) - \mathcal{K}_\Lambda^\#(\beta, h)).$

Insbesondere ist die r -te Kumulante von M_Λ

$$\text{gegeben durch} \quad c_r(M_\Lambda) = |\Lambda| \cdot \frac{\partial^r}{\partial h^r} \mathcal{K}_\Lambda^\#(\beta, h),$$

und damit ($r=1$)

$$\boxed{m_\Lambda^\#(\beta, h) = \frac{\partial}{\partial h} \mathcal{K}_\Lambda^\#(\beta, h)}.$$

Bew.: $\langle e^{t M_\Lambda} \rangle_{\Lambda, \beta, h}^\# = \frac{1}{Z_{\Lambda, \beta, h}^\#} \cdot \sum_{\omega \in \mathcal{R}_\Lambda} \exp(-\mathcal{H}_{\Lambda, \beta, h+t}^\#)$

$$= \frac{1}{z_{\Lambda; \beta, h}^*} \cdot z_{\Lambda; \beta, h+t}^*$$

$$\begin{aligned} \text{Also } \log \langle e^{tH_{\Lambda}} \rangle_{\Lambda; \beta, h}^* &= \log z_{\Lambda; \beta, h+t}^* - \log z_{\Lambda; \beta, h}^* \\ &= |\Lambda| \cdot (\kappa_{\Lambda}^*(\beta, h+t) - \kappa_{\Lambda}^*(\beta, h)) \end{aligned}$$

und damit insbesondere

$$\begin{aligned} c_1(H_{\Lambda}) &= \left. \frac{d}{dt} \right|_{t=0} \log \langle e^{tH_{\Lambda}} \rangle_{\Lambda; \beta, h}^* \\ &= \frac{\langle H_{\Lambda} \rangle_{\Lambda; \beta, h}^*}{\langle 1 \rangle_{\Lambda; \beta, h}^*} = |\Lambda| \cdot \kappa_{\Lambda}^*(\beta, h) = |\Lambda| \cdot \left. \frac{d}{dt} \right|_{t=0} \kappa_{\Lambda}^*(\beta, h+t) \\ &= |\Lambda| \cdot \frac{\partial}{\partial h} \kappa_{\Lambda}^*(\beta, h). \end{aligned}$$

Frage: Was passiert mit $\kappa_{\Lambda_n}^*(\beta, h) = \frac{\partial}{\partial h} \kappa_{\Lambda_n}^*(\beta, h)$ im thermodynamischen Grenzwert $\Lambda_n \uparrow \mathbb{Z}^d$. Existiert der Grenzwert der RHS und ist unabhängig von den Randbed. und der gewählten Folge?

$$\text{Folge? Gilt } \lim_{\Lambda \uparrow \mathbb{Z}^d} \frac{\partial}{\partial h} \kappa_{\Lambda}^*(\beta, h) = \frac{\partial \kappa}{\partial h}(\beta, h)?$$

Antwort: Wir wissen bereits, dass κ konvex ist [in (β, h) , also auch in h für jedes feste β]. Damit existieren laut

Anhang für alle $\beta \in \mathbb{R}_{\geq 0}$ und $h \in \mathbb{R}$ die linksseitige-
Satz 4.5 (1), (6)

und rechtsseitigen Ableitungen

$$\frac{\partial \mathcal{H}}{\partial h^-}(\beta, h) = \lim_{h' \uparrow h} \frac{\mathcal{H}(\beta, h') - \mathcal{H}(\beta, h)}{h' - h}, \quad \frac{\partial \mathcal{H}}{\partial h^+}(\beta, h) = \lim_{h' \downarrow h} \frac{\mathcal{H}(\beta, h') - \mathcal{H}(\beta, h)}{h' - h},$$

und für jedes $\beta \in \mathbb{R}_{\geq 0}$ existiert eine höchstens

abzählbare Menge $B_\beta = \{h \in \mathbb{R} \mid \frac{\partial \mathcal{H}}{\partial h^-}(\beta, h) \neq \frac{\partial \mathcal{H}}{\partial h^+}(\beta, h)\},$

wo \mathcal{H} nicht diff'bar in h ist.

Prop. 3.8: Für $h \notin B_\beta$ ist $m(\beta, h) := \lim_{\Lambda \uparrow \mathbb{Z}^d} m_\Lambda^\#(\beta, h)$

[Korollar 3.7
in [13]]

welldefiniert, d.h. unabhängig von der gewählten Folge

$\Lambda_n \uparrow \mathbb{Z}^d$ und Randbedingung $\#$. Außerdem gilt:

(i) $m(\beta, h) = \frac{\partial \mathcal{H}}{\partial h}(\beta, h)$ für $h \notin B_\beta$

(ii) $h \mapsto m(\beta, h)$ ist monoton wachsend auf $\mathbb{R} \setminus B_\beta$.

(iii) $h \mapsto m(\beta, h)$ ist stetig in $h \notin B_\beta$.

In jedem $h \in B_\beta$ ist $h \mapsto m(\beta, h)$ unstetig mit

$$\lim_{h' \downarrow h} m(\beta, h') = \frac{\partial \mathcal{H}}{\partial h^+}(\beta, h), \quad \lim_{h' \uparrow h} m(\beta, h') = \frac{\partial \mathcal{H}}{\partial h^-}(\beta, h).$$

Wir definieren die spontane Magnetisierung als

$u^*(\beta) = \lim_{h \downarrow 0} u(\beta, h)$; diese ist mit der
vorigen Aussage immer wohldefiniert.

Bew.: (1) Für $h \notin \mathcal{B}_\beta$ gilt

$$\frac{\partial \mathcal{H}}{\partial h}(\beta, h) = \frac{\partial}{\partial h} \lim_{\Lambda \uparrow \mathbb{Z}^d} \mathcal{H}_\Lambda^\#(\beta, h)$$

Satz 4.5 (7) \Rightarrow $\lim_{\Lambda \uparrow \mathbb{Z}^d} \frac{\partial}{\partial h} \mathcal{H}_\Lambda^\#(\beta, h)$
im Anhang

Rechnung 7 \Rightarrow $\lim_{\Lambda \uparrow \mathbb{Z}^d} u_\Lambda^\#(\beta, h)$
voriges Proposition

womit die RHS automatisch wohldefiniert ist.

Da \mathcal{H} konvex ist, folgt (ii) sofort aus Satz 4.5 (4)

und (iii) aus Satz 4.5 (5).

Ist $h \in \mathcal{B}_\beta$, so wähle eine Folge $(h_k) \subset \mathbb{R} \setminus \mathcal{B}_\beta$
mit $h_k \downarrow h$ [existiert, da \mathcal{B}_β abgeschlossen], dann gilt

$$\text{für jedes } k \in \mathbb{N} \quad \frac{\partial \mathcal{H}}{\partial h^+}(\beta, h_k) = u(\beta, h_k), \text{ also}$$

wegen der Rechtsstetigkeit von $\frac{\partial \mathcal{H}}{\partial h^+}(\beta, \cdot)$ [Satz 4.5, (5)]

$$\lim_{k \rightarrow \infty} \frac{\partial \mathcal{H}}{\partial h^+}(\beta, h_k) = \frac{\partial \mathcal{H}}{\partial h^+}(\beta, h) = \lim_{h' \downarrow h} u(\beta, h')$$

und analog für linksseitige Ableitung. Da $h \in B_p$,
ist per Def. von B_p damit $\lim_{h \nearrow h'} u(p, h') \neq \lim_{h \searrow h'} u(p, h')$.

Def. 3.9: Wir sagen, dass der Druck π bei (p, h) einen
[Def. 3.8 in [1]]
Phasenübergang 1. Ordnung zeigt, falls $h \mapsto \pi(p, h)$
in diesem Punkt nicht differenzierbar ist.

4. Anhang: Einige Sätze über konvexe Funktionen [Abschnitt B.2 in [1]]

Sei $I = (a, b) \subseteq \mathbb{R}$ ein offenes Intervall mit $-\infty \leq a < b \leq +\infty$.

Def. 4.1: Eine Funktion $f: I \rightarrow \mathbb{R}$ heißt konvex, falls $\forall x, y \in I, \forall \alpha \in [0, 1]$:
[Definition B.8 in [1]]

$$f(\alpha x + (1-\alpha)y) \leq \alpha f(x) + (1-\alpha)f(y).$$

Lemma 4.2: Eine Funktion $f: I \rightarrow \mathbb{R}$ ist genau dann konvex, falls $\forall x, y, z \in I$

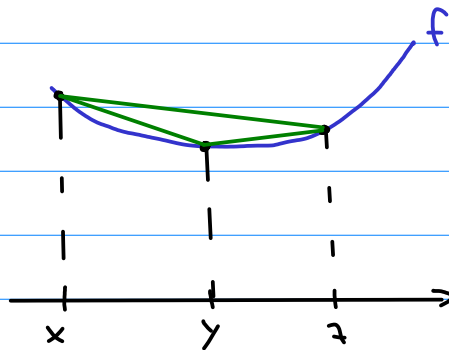
[Aufgabe B.1 in [1]]

$$\text{mit } x < y < z \text{ gilt: } f(y) \leq \frac{z-y}{z-x} f(x) + \frac{y-x}{z-x} f(z) \quad (*)$$

Falls f überall endlich ist [was wir voraussetzen], so folgt aus (*), dass

$$\frac{f(y) - f(x)}{y - x} \leq \frac{f(z) - f(x)}{z - x} \leq \frac{f(z) - f(y)}{z - y} \quad \forall x, y, z \in I \text{ mit } x < y < z \quad (**).$$

Skizze:



Prop. 4.3: Seien $f_n: I \rightarrow \mathbb{R}, n \in \mathbb{N}$, konvex und $f_n \rightarrow f$ punktweise.
[Aufgabe B.3 in [1]] Dann ist f konvex.

Prop. 4.4 Sei $f: I \rightarrow \mathbb{R}$ konvex. Dann ist f lokal Lipschitz-stetig und
[Proposition B.9 in [1]] damit insbesondere stetig.

Notation: $\partial^+ f(x) = \frac{\partial f}{\partial x^+}(x) = \lim_{x' \downarrow x} \frac{f(x') - f(x)}{x' - x}$

$$\partial^- f(x) = \frac{\partial f}{\partial x^-}(x) = \lim_{x' \uparrow x} \frac{f(x') - f(x)}{x' - x}$$

Satz 4.5: Sei $f: I \rightarrow \mathbb{R}$ konvex. Dann gelten folgende Aussagen:

[Theorem 13.12
in (15)]

- ① $\partial^+ f(x), \partial^- f(x)$ existieren für alle $x \in I$.
- ② $\partial^- f(x) \leq \partial^+ f(x) \quad \forall x \in I$.
- ③ $\partial^+ f(x) \leq \partial^- f(y) \quad \forall x, y \in I$ mit $x < y$.
- ④ $\partial^+ f, \partial^- f$ sind monoton wachsend.
- ⑤ $\partial^+ f$ ist rechtsstetig, $\partial^- f$ ist linksstetig.
- ⑥ $\{x \in I \mid \partial^+ f(x) \neq \partial^- f(x)\}$ ist höchstens abzählbar.
- ⑦ Sind $g_n: I \rightarrow \mathbb{R}, n \in \mathbb{N}$, konvexe Funktionen mit $g_n \rightarrow g$ punktweise, so gilt $\forall x \in I$, wo g diff'bar ist:

$$g'(x) = \lim_{n \rightarrow \infty} \partial^+ g_n(x) = \lim_{n \rightarrow \infty} \partial^- g_n(x).$$

Zugehörige Beweise

Lemma 4.2: " \Rightarrow " Sei $f: I \rightarrow \mathbb{R}$ konvex und $x, y, z \in I$ mit $x < y < z$.

Definiere $\alpha = \frac{z-y}{z-x} \in (0, 1)$, dann gilt $y = \alpha x + (1-\alpha)z$

und somit
$$f(y) \leq \alpha \cdot f(x) + (1-\alpha)f(z)$$

$$= \frac{z-y}{z-x} f(x) + \frac{y-x}{z-x} f(z).$$

" \Leftarrow " Sei $x < z \in I$ und $\alpha \in (0, 1)$. Definiere $y = \alpha x + (1-\alpha)z$,
 $\alpha = 0$ oder $\alpha = 1$ klar...

dann folgt $x < y < z$ und somit:

$$\begin{aligned}
 f(y) &= f(\alpha x + (1-\alpha)z) \leq \frac{z-y}{z-x} f(x) + \frac{y-x}{z-x} f(z) \\
 &= \frac{z-\alpha x - (1-\alpha)z}{z-x} f(x) + \frac{\alpha x + (1-\alpha)z - x}{z-x} f(z) \\
 &= \alpha f(x) + (1-\alpha) f(z).
 \end{aligned}$$

Aus (*) folgt dann

$$\frac{f(y) - f(x)}{y-x} \leq \frac{\frac{z-y}{z-x} f(x) - f(x) + \frac{y-x}{z-x} f(z)}{y-x} = \frac{f(z) - f(x)}{z-x}$$

Sowie

$$\frac{f(z) - f(y)}{z-y} \geq \frac{f(z) - \frac{y-x}{z-x} f(z) - \frac{z-y}{z-x} f(x)}{z-y} = \frac{f(z) - f(x)}{z-x}.$$

Prop. 4.3: Seien $x, y \in I$ und $\alpha \in [0, 1]$. Dann gilt $\forall n \in \mathbb{N}$

$$f_n(\alpha x + (1-\alpha)y) \leq \alpha \cdot f_n(x) + (1-\alpha) f_n(y),$$

als. per $n \rightarrow \infty$ auch $f(\alpha x + (1-\alpha)y) \leq \alpha f(x) + (1-\alpha) f(y)$.

Prop. 4.4: Sei $K \subset I$ kompakt und $\varepsilon > 0$ so gewählt, dass

$$K_\varepsilon = \{z \in \mathbb{R} \mid d(K, z) \leq \varepsilon\} \subset I. \text{ Definiere } M = \sup_{z \in K_\varepsilon} f(z)$$

und $m = \inf_{z \in K_\varepsilon} f(z)$. Dann gilt $|m|, |M| < \infty$, denn:

Falls $M = +\infty$, so gäbe es eine Folge $(x_n) \subset K_\varepsilon$ mit $f(x_n) \nearrow \infty$. Da K_ε kompakt ist, ex. eine konvergente Teilfolge $(x_{n_k}) \subset (x_n)$ mit $x_{n_k} \rightarrow x_* \in I$ und $f(x_{n_k}) \nearrow \infty$. Sind $z, z' \in I$ mit $z < x_* < z'$, so gibt es damit ein x_n mit $z < x_n < z'$ und $f(x_n) > \max \{f(z), f(z')\}$ im Widerspruch zur Konvexität von f [$M = -\infty$ geht ähnlich, dort Widerspruch über $f(x_*) > f(x_n)$ für $n \rightarrow \infty$ konstruieren].

Seien nun $x, y \in K$ mit $x \neq y$. Setze $z = y + \varepsilon \cdot \frac{y-x}{|y-x|} \in K_\varepsilon$.

Dann gilt $y = (1-\lambda)x + \lambda z$ mit $\lambda = \frac{|y-x|}{|y-x|+\varepsilon} \in (0,1)$,

also $f(y) \leq (1-\lambda)f(x) + \lambda f(z)$ bzw.

$$f(y) - f(x) \leq \underbrace{\lambda}_{\leq \frac{|y-x|}{\varepsilon}} \cdot \underbrace{(f(z) - f(x))}_{\leq M-m} \leq \frac{M-m}{\varepsilon} \cdot |y-x|$$

Analoges Vorgehen mit $x \leftrightarrow y$ ergibt also

$$|f(y) - f(x)| \leq \frac{M-m}{\varepsilon} \cdot |y-x|.$$

Satz 4.5: Aus Lemma 2 folgt zunächst, dass

$$y \mapsto \frac{f(y) - f(x)}{y-x} \quad \text{und} \quad x \mapsto \frac{f(y) - f(x)}{y-x}$$

beide monoton wachsend sind (**).

① Seien $x, y \in I$ mit $x < y$ und $(z_k) \subset I$ mit $z_k \downarrow y$.

Dann ist mit (**) die Folge $\frac{f(z_k) - f(y)}{z_k - y}$ monoton fallend

und mit (*) von unten durch $\frac{f(y) - f(x)}{y - x}$ beschränkt,

also existiert $\partial^+ f(y) = \lim_{k \rightarrow \infty} \frac{f(z_k) - f(y)}{z_k - y}$ (und hängt natürlich

nicht von der gewählten Folge ab). Für $\partial^- f$ geht alles vollkommen

analog.

② In (*), d.h. $\forall x, y, z \in I$ mit $x < y < z$ gilt

$$\frac{f(y) - f(x)}{y - x} \leq \frac{f(z) - f(x)}{z - x} \leq \frac{f(z) - f(y)}{z - y},$$

bilden wir zunächst den Grenzwert $x \nearrow y$ und anschließend

$z \downarrow y$ für $\partial^- f(y) \leq \partial^+ f(y)$.

③ Mit (**) folgt für $y \downarrow x$ bzw. $x \nearrow y$ und $x < y$

$$\partial^+ f(x) \leq \frac{f(y) - f(x)}{y - x} \leq \partial^- f(y).$$

$$\textcircled{4} \quad \partial^- f(x) \stackrel{\textcircled{2}}{\leq} \partial^+ f(x) \stackrel{\textcircled{3}}{\leq} \partial^- f(y) \stackrel{\textcircled{2}}{\leq} \partial^+ f(y)$$

⑤ Zur Rechtsstetigkeit von $\partial^+ f$: Mit ④ ist $\partial^+ f$ monoton

wachsend, also existiert $\lim_{y \downarrow x} \partial^+ f(y) \geq \partial^+ f(x)$.

Nach Prop. 4 ist f stetig also gilt $\forall z > x$

$$\frac{f(z) - f(x)}{z - x} = \lim_{y \downarrow x} \underbrace{\frac{f(z) - f(y)}{z - y}}_{\geq \partial^+ f(y), \text{ s. (3)}} \geq \lim_{y \downarrow x} \partial^+ f(y), \text{ d.h. mit } z \downarrow x$$

$$\partial^+ f(x) \geq \lim_{y \downarrow x} \partial^+ f(y).$$

⑥ Da das Intervall I sich als abzählbare Vereinigung abg. Intervalle

$[a, b]$ schreiben lässt (F_σ -Menge), genügt es zu zeigen, dass

auf einem solchen abg. Intervall nur abzählbar viele Punkte

existieren, wo f nicht diff'bar ist. Sei wieder $\varepsilon > 0$ s.d.

$$[a - \varepsilon, b + \varepsilon] \subset I \text{ und } M = \sup_{x \in [a - \varepsilon, b + \varepsilon]} |f(x)| < \infty \text{ (da } f \text{ stetig)}.$$

$$\text{Der Beweis von (3) liefert } \partial^+ f(b) \leq \frac{f(b + \varepsilon) - f(b)}{\varepsilon} \leq \frac{2M}{\varepsilon}$$

$$\text{und } \partial^- f(a) \geq \frac{f(a) - f(a - \varepsilon)}{\varepsilon} \geq -\frac{2M}{\varepsilon}.$$

Mit (1) und (4) gilt außerdem $\forall x \in [a, b]$:

$$\partial^- f(a) \leq \partial^\pm f(x) \leq \partial^+ f(b)$$

$$\text{und zusammen damit } \sup_{x \in [a, b]} |\partial^\pm f(x)| \leq \frac{2M}{\varepsilon}.$$

Setze nun $\forall r \in \mathbb{N}$ $A_r := \{x \in [a, b] \mid \partial^+ f(x) - \partial^- f(x) \geq \frac{1}{r}\}$,

s.d. $\bigcup_{r \in \mathbb{N}} A_r = \{x \in [a, b] \mid \partial^+ f(x) > \partial^- f(x)\}$ genau die Menge der Punkte in $[a, b]$ ist, wo f nicht diff'bar ist.

Wir zeigen, dass $|A_r| < \infty$ $\forall r \in \mathbb{N}$.

Sei also $r \in \mathbb{N}$ beliebig und $x_1 < \dots < x_n \in A_r$ für ein $n \in \mathbb{N}$.

Dann gilt $\partial^+ f(x_n) - \partial^- f(x_n)$

$$= \partial^+ f(x_n) - \partial^- f(x_n) + \partial^- f(x_n) - \partial^- f(x_n)$$

$$\stackrel{③}{\geq} \partial^+ f(x_n) - \partial^- f(x_n) + \partial^+ f(x_{n-1}) - \partial^- f(x_n)$$

$$\geq \dots \geq \sum_{k=1}^n (\partial^+ f(x_k) - \partial^- f(x_k)) \geq \frac{n}{r}$$

$$\text{also } n \leq r \cdot (\partial^+ f(x_n) - \partial^- f(x_n)) \leq r \cdot \frac{4M}{\varepsilon} < \infty.$$

⑦ Aus dem Beweis von ③ folgt wieder:

$$\partial^+ g_n(x) \leq \frac{g_n(x+h) - g_n(x)}{h},$$

$$\text{also } \limsup_{n \rightarrow \infty} \partial^+ g_n(x) \leq \frac{g(x+h) - g(x)}{h}, \text{ und falls } g \text{ in } x \text{ diff'bar}$$

ist, damit mit $h \searrow 0$ $\limsup_{n \rightarrow \infty} \partial^+ g_n(x) \leq g'(x)$. Analog dann

$$g'(x) \leq \liminf_{n \rightarrow \infty} \partial^- g_n(x) \text{ und damit}$$

$$g'(x) \leq \liminf_{n \rightarrow \infty} \partial^- g_n(x) \stackrel{(2)}{\leq} \liminf_{n \rightarrow \infty} \partial^+ g_n(x) \leq \limsup_{n \rightarrow \infty} \partial^+ g_n(x) \leq g'(x)$$

Sowie

$$g'(x) \leq \liminf_{n \rightarrow \infty} \partial^- g_n(x) \leq \limsup_{n \rightarrow \infty} \partial^- g_n(x) \stackrel{(2)}{\leq} \limsup_{n \rightarrow \infty} \partial^+ g_n(x) \leq g'(x).$$

Literatur

- [1] Friedli, S. und Velenik, Y. „Statistical mechanics of lattice systems: a concrete mathematical introduction“. Cambridge University Press, 2017.